

高压静电电场

· 增订版



解广润编著 上海科学技术出版社

内 容 提 要

本书介绍静电场的各种解析计算方法(直接积分法、镜象法、拉麦法、复变函数法、反转法、分离变量法、格林法和格林倍格法等),电子计算机上适用的数值计算方法(有限元法、有限差分法、模拟电荷法和边界元法等),以及近似解析计算和图解法。还介绍了各种实验方法和调整方法,且具体处理了一些工程上常遇到的电场问题,并得出相应的技术结论。

静电场理论不仅是高电压技术专业的基础,而且是应用计算机数值方法处理其他工程问题的极好模型。近年来静电应用已深入各个技术领域,本书可供各专业技术人员参考,尤其适合作高电压技术和设备专业教学参考书。

高 压 静 电 场

(增 订 版)

解 广 润 编著

上海科学技术出版社出版

(上海瑞金二路450号)

新华书店上海发行所发行 扬中县印刷厂印刷

开本850×1156 1/32 印张18.5 字数471,000

1962年11月第1版

1987年5月第2版 1987年5月第3次印刷

印数3,501→5,000

统一书号: 13119 · 481 定价: 4.05元

序

高压静电场是高电压工程专业的一个重要問題。大家知道，在高电压下絕緣会发生损坏，高压工作者的一个主要任务就是同这种現象作斗争。但是严格說来，并不是高电压的本身，而是作用在絕緣体中的强电場使絕緣损坏的。所以，詳細研究在各种电极情况下电場的分布規律，就成为高压工作者的重要課題了。

本书的一部分內容是根据編者在哈尔滨工业大学讲授“靜電場”一課所用讲稿编写而成的。书中比較全面地介紹了靜電場的理論知識和實驗方法，用它們研究了一系列的工程实际問題，并导出技术結論。本书的具体內容如下：

第一章介紹靜電場的基本关系式，最后討論了介质的临界电場强度、电場的不均匀系数和絕緣物的利用系数。

第二章討論在高压工程中常常遇到的一些简单几何形状电极的电場：同心球极的电場、同軸圓柱間的电場、平行圓柱間的电場、不同心的两球間的电場；并且討論了电場最大值的和电容值的近似計算問題。本章中对于分裂相綫的电場和高压球隙放电器的电場曾作詳細的計算。

第三章討論用拉麦方法計算椭球、椭圆盘、棒形电极、針-板电极、針-針电极、单极旋轉双曲綫面电极以及垂鏈綫旋轉面电极的电場。在本章中对于高压工程中的一个重要問題——接地問題——进行了計算，例如对于半球形接地器、圓盘接地器和管形接地器等的接地电阻进行了計算，并对管形接地器的“接触电压”和“跨步电压”以及危險区范围进行了分析。在本章中用数学方法論証了針-板电場是最不均匀的电場，因之在高压工程中研究不均匀电場的問題时，可以用針-板电場作为典型。这一章也論及了高压分压器屏蔽圓盘电場的計算方法。在本章的后面对于高压导綫穿

墙洞的结构問題进行了深入的研究，所得結論可用于实际設計。

第四章介紹用保角变换法計算电場的問題，其中除了对某些典型电极形状的电場作了計算之外，还对以下的工程实际問題进行了研究：例如帶式接地器的接地电阻、局部放电电压和絕緣厚度的关系、計及边缘效应时平板电容器的电容、标准平板电容器保护环的寬度、高压空气电容器的罗高夫斯基电极、电容器型絕緣结构中的边缘效应以及树林对架空輸电綫路的屏蔽作用等等。在本章的最后对于有圓弧角的多角形电极的电場的計算作了介紹。

第五章討論了計算电場的反轉法。用这种方法去計算各种相交球电极的电場是很方便的。本章并証明了将电极形状稍加改变并不影响其电容值。

第六章是用分离变数法解拉普拉斯方程式，引出了在笛卡尔直角坐标中、在圓柱坐标中和在圓球坐标中拉普拉斯方程式的全面解答；并且引出了在旋轉抛物綫面坐标中、在旋轉扁椭圆坐标中和在旋轉长椭圆坐标中拉普拉斯方程式在某些特殊情况下的解答。在本章中探討的实际問題有：高压静电电压表电場的补偿問題、扇形心綫三心电纜的电容、在均匀电場中导电圓柱体（例如雷云电場中的輸电线）使电場变形的情况、不完全同心的球形电容器的电容、針式支持絕緣子的电場、简单套管的电場以及有两种土壤层时的管形接地器的接地电阻等等。

第七章首先介紹格林理論，然后用它論証互換原理和静电場的单一性，并求出泊松方程式的特解。在本章中还对于几种具体情况下格林函数的推求及其应用作了說明。

第八章是用网格法計算电場，并算出了电纜受到变形后的电場。

第九章討論电介质的极化。計算了变压器油中的水滴、炭粒或气泡使耐压强度下降的問題，山岭使雷云电場变形的問題以及高压空气断路器灭弧室中的电場；并比較了避雷針与避雷綫的电場。本章还介绍了格林倍格关于有各种不同介质时电場的計算方

法。对于介质在电场中受力的问题也给予了充分的注意，并论证了纤维在变压器油中会自动在电极间搭成小桥的问题。

第十章说明电场的图解法和各种实验法，其中对于用电解槽进行模拟实验的问题以及用西林电桥测量电容的问题作了详尽的探讨。

第十一章介绍调整电场的各种方法，其中介绍了在以下各种电机和电器中调整电场的方法：保护间隙的奥斯金电极、绝缘子串的保护环、高压阀型避雷器的均压环、支持式绝缘子的内凸电极、瓷套管的法轮盘、高压导线穿墙洞的电极结构、管型避雷器的中间电极、电容器式套管的中间电极、静电电压表的补偿环、电缆的多层介质绝缘以及电机定子高压导线出槽处的半导体漆层等等。

在附录中列出了多种电极的电容公式，它是进行实际设计时得力的参考工具。

从上述本书的内容可以看出，在讨论中不可避免地要牵涉到一些复杂的数学问题。编者注意到读者可能遇到的数学困难，所以本书在叙述上力求深入浅出，讲清物理概念，而在必须用复杂的数学方法时，则力求从最基本数学概念谈起，这样就能保证具备一般的高等数学知识的读者在学习本书时不会发生太多的困难。

本书的第十章和第十一章是陈慈萱同志协助写出的。教研室的同志们曾对本书提供不少宝贵意见，特志谢意。

如蒙读者赐教，非常欢迎。来信请由上海科学技术出版社转交。

解广润
于上海新园

增订版说明

拙著这次增订，主要增加了两章和一个附录，其余照原版重印。

在新增的第十二章中，我们介绍了四种计算静电场的数值方法：有限差分法；有限元法；模拟电荷法以及边界元法，各自列举了计算实例以及在计算机上通过的计算程序和计算结果，以便学习应用。

介质在静电场中的受力虽早已由热力学的观点推导出相应的公式，但是介质受力的机理却一直是一个难以理解的问题。例如，平行于介质交界面的电场强度 E_t 为什么会使介质交界面受到垂直于交界面方向的力呢？为此，麦克斯韦不得不引用未加证明的猜想——电力线之间有斥力（麦克斯韦力）——来解释。在新增的第十三章中，我们证明：在任何情况下，介质受力的机理都可以用偶极子及空间电荷的受力来解释。这就使得静电磁学在介质受力问题上的缺口得到了自圆其说的解决。

根据兰帕-汤普逊定理制成的欧姆绝对测量的计算电容基准器，结构简单，测试迅速，易于保存欧姆，已为世界各国普遍采用。我们在附录 A 中对此作了介绍。

由于照顾原版纸型的利用，所以新增的部分只好放在原版最后一章的后面。重印部分没有用简化偏旁简体字，这些请读者谅解。

本增订版新增的第十二章是陈慈萱同志在美国俄亥俄州立大学进修时编写的。

解广润
于武汉珞珈山

目 录

序

增订版说明

第一章 静电场的基本关系式	1
§ 1.1 库伦定律	1
§ 1.2 电感应强度和高斯定律	7
§ 1.3 电位及电压	12
§ 1.4 电容	18
§ 1.5 部分电容	23
§ 1.6 笛卡尔直角坐标中高斯定律的微分形式	32
§ 1.7 在其他各种坐标系统中的拉普拉斯方程式	34
§ 1.8 临界电场强度	41
习题	43
第二章 几种简单几何形状电极的电场	44
§ 2.1 同心球极间的电场	44
§ 2.2 同轴圆柱电极间的电场	47
§ 2.3 镜象法——等位面法	51
§ 2.4 两平行圆柱电极间的电场	58
§ 2.5 分裂相线的电场	64
§ 2.6 两不同心球之间的电场	83
§ 2.7 球隙放电器电场的近似计算	88
§ 2.8 电场最大值的近似计算	93
§ 2.9 电容的近似计算	95
习题	103
第三章 拉麦方法——等位面和特定曲面组相吻合的电场的解法	104
§ 3.1 代表等位面的曲面组所需满足的条件	104
§ 3.2 曲面组 $\frac{x^2}{a^2+\theta} + \frac{y^2}{b^2+\theta} + \frac{z^2}{c^2+\theta} = 1$ 所代表的等位面	105

§ 3.3 带电椭球导体的电场	108
§ 3.4 带电椭圆盘的电场	110
§ 3.5 带电的椭圆旋转体及棒形电极的电场	114
§ 3.6 双极旋转双曲面的电场	123
§ 3.7 单极旋转双曲面的电场	125
§ 3.8 垂链线旋转面	130
习题	140
第四章 用保角变换法解静电场问题	141
§ 4.1 正则复变函数的性质	141
§ 4.2 用 $W = Z^2$ 的函数进行变换	146
§ 4.3 用 $W = Z^{\frac{1}{2}}$ 的函数进行变换	147
§ 4.4 用 $W = \ln Z$ 的函数进行变换	149
§ 4.5 椭圆柱体或双曲线柱体的电场	152
§ 4.6 线性变换	158
§ 4.7 利用线性变换求不同轴圆柱电极间的电场	161
§ 4.8 交角为 α 的两电极间的电场	163
§ 4.9 许瓦兹变换	168
§ 4.10 直角对平板的电场	169
§ 4.11 平板电容器的边缘电场	173
§ 4.12 电容器型绝缘结构中的边缘效应	182
§ 4.13 两个棱角之间的电场	185
§ 4.14 树林对架空输电线的屏蔽作用	188
§ 4.15 有圆弧角的多角形电极的电场	194
习题	200
第五章 用反转法解静电场问题	202
§ 5.1 反转法中的几何关系	203
§ 5.2 反转前后的电位值的关系	206
§ 5.3 两相切金属球和点电荷之间的吸力	208
§ 5.4 两正交导体球的电场	210
习题	212
第六章 用分离变数法解拉普拉斯方程式	213
§ 6.1 直角坐标系统(笛卡尔坐标系统)中拉普拉斯方程式的解	213

§ 6.2 圆柱坐标系统中拉普拉斯方程式的解	222
§ 6.3 在均匀电场中导电圆柱体使电场变形的情况	231
§ 6.4 在金属圆桶中的电场分布	234
§ 6.5 高压静电电压表电场的补偿	237
§ 6.6 扇形心线电缆的电场	241
§ 6.7 圆球坐标系统中拉普拉斯方程式的解	249
§ 6.8 两球球心有一很小距离的球形电容器	258
§ 6.9 两个带电的半球壳的电场	261
§ 6.10 针式支持绝缘子的电场	264
§ 6.11 简单套管的电场	270
§ 6.12 有两种土壤层时的管形接地电极	275
习题	280
第七章 格林理论及其应用	281
§ 7.1 格林公式	281
§ 7.2 互换原理	283
§ 7.3 拉普拉斯方程式的解式的唯一性	284
§ 7.4 泊松方程式的特解	287
§ 7.5 格林函数	290
§ 7.6 “上半空间”的电场问题	292
§ 7.7 球形边界的电场问题	295
§ 7.8 圆形边界的电场问题	297
§ 7.9 第二类边界条件时的格林函数	300
§ 7.10 区域中间部分电场的近似计算	302
习题	306
第八章 用网格法计算电场	307
§ 8.1 网格法的原理	307
§ 8.2 填出网格各结点上电位的步骤	309
§ 8.3 极坐标时网格的画法	316
§ 8.4 变形电缆的电场	319
习题	321
第九章 电介质的极化	322
§ 9.1 电介质的极化	322

§ 9.2 电介质存在时的电场计算	326
§ 9.3 介质中的电感应强度	329
§ 9.4 电力线在介质界面上的折射	330
§ 9.5 有介质界面时的镜象法	334
§ 9.6 均匀电场中的介质球使电场变化的情况	336
§ 9.7 均匀电场中的介质椭圆柱体使电场变化的情况	344
§ 9.8 高压空气断路器灭弧室中的电场	348
§ 9.9 在有各种不同的均匀介质时, 计算电场的方法(格林倍格 法)	361
§ 9.10 在交界面为无穷大平面的两种介质中的电场分布	363
§ 9.11 均匀介质圆柱体(ϵ_2)放在无穷大的另一种介质(ϵ_1)中的电 场分布	367
§ 9.12 在均匀介质中有一导体球时电场的分布	371
§ 9.13 在导体平板上有一介质半圆柱体时电场的分布	375
§ 9.14 介质在电场中所受的力	376
§ 9.15 在各向异性介质中电场的计算	384
习题	389
第十章 电场的图解和实验法	391
§ 10.1 电场的图解法	391
§ 10.2 电场实验法概述	393
§ 10.3 用探针法测量电位	394
§ 10.4 测量绝缘子(或套管)表面上电位分布的方法	396
§ 10.5 测量电力线的方法	398
§ 10.6 电场的模拟实验法	401
§ 10.7 电容的测量	410
习题	416
第十一章 电场的调整	417
§ 11.1 改变电极形状来调整电场	417
§ 11.2 利用中间电极调整电场	423
§ 11.3 利用外界电场的影响调整原有电场	433
§ 11.4 适当配用不同介电系数的介质来调整电场	433
§ 11.5 利用电阻的电位降影响来调整电场	485
习题	439

附录 各种电极的电容公式	439
第十二章 静电场的数值计算法	458
§ 12.1 有限差分法	458
§ 12.2 有限元法	472
§ 12.3 模拟电荷法	497
§ 12.4 边界元法	515
习题	530
第十三章 介质在静电场中受力的机理	531
§ 13.1 介质在静电场中受力的普遍公式	531
§ 13.2 介电系数 ϵ 和密度 τ 的关系	536
§ 13.3 从偶极子受力的观点来解释线性介质在静电场中的受力	541
§ 13.4 从偶极子受力的观点来解释非线性介质在静电场中的受力	548
§ 13.5 从偶极子受力推导介质受力的普遍公式	558
习题	562
附录 A 兰帕-汤普逊定理——欧姆绝对测量的计算电容法 原理	564
参考文献	570
人名中外文对照表	573
索引	574

第一章 靜電場的基本关系式

§ 1.1 庫倫定理

庫倫用實驗的方法證明，在無窮大的均勻電介質（絕緣體）中，兩個靜止的集中電荷（點電荷）之間互相的作用力 F 的大小與兩電荷間距離 r 的平方成反比，而與各自的電荷量 Q 和 q 都成正比； F 的方向為沿兩電荷間聯線的方向，當兩電荷極性相同時為推斥力，當兩電荷極性相反時為吸引力。將 F 的值寫成數學式子，即成

$$F = \frac{Qq}{kr^2}; \quad (1-1)$$

式中， k 為比例常數，它的值與介質的種類以及 Q 、 q 、 r 和 F 所用的單位有關。在真空中，當 Q 和 q 所用的單位為庫倫， r 的單位為米， F 的單位為牛頓*時，實驗證明

$$k = \frac{1}{9 \times 10^9}.$$

為了應用的便利，通常將(1-1)式中的 k 寫成

$$k = 4\pi\epsilon = 4\pi\epsilon_0\epsilon_r;$$

式中， $\epsilon = \epsilon_0\epsilon_r$ 表示介質的電的性質，叫做電介質的介電系數； 4π 為合理化因子，它的引進可使一系列常用的公式得到較為簡化的样子。 ϵ_0 叫真空的介電系數， ϵ_r 叫介質的相對介電系數。令真空的 $\epsilon_r = 1$ ，於是可見

$$\epsilon_0 = \frac{k}{4\pi} = 8.86 \times 10^{-12}.$$

在其他介質中， ϵ_r 不再為 1，而為其他數值。各種常用介質的 ϵ_r 值見 § 1-8 中的表 1-1。

* 牛頓即千克·米/秒²，1 牛頓等於 10^5 达因。

如果将 F 的数值和方向都由数学式加以表达，那末就成为

$$\mathbf{F} = \frac{Qq}{4\pi \epsilon_0 \epsilon_r r^3} \mathbf{r}; \quad (1-2)$$

式中， \mathbf{F} 表示作用力的数值和方向； r 在数值上等于 r ，但它还表示出方向是沿 Q_1 和 Q_2 的联线上（沿 r 增大的方向）。上式就叫做库伦定律。

研究的结果表明，两个电荷之间的互相作用力并不是一个电荷对另一个电荷超越空间而作用的结果（所谓超距作用），而是一个电荷周围的电场对另一个电荷作用的结果。拿上述的两个静止点电荷 Q 和 q 作为例子： q 所受的力量是电荷 Q 的电场对 q 作用的结果；而 Q 所受的力量则是电荷 q 的电场对 Q 作用的结果。在电荷周围的介质中是必然要有电场存在的。会使放入其中的试探电荷受到力的作用是电场的一个特性*。如果相对于介质和我们观察者来说电荷是不动的，同时它的数值也是不变的，那末其相应的电场将不随时间而变化。这种电场叫做静电场。

为了研究点电荷 Q 的电场，我们可以把点电荷 q 作为试探用的电荷。在试探用的点电荷 q 的引入不致使原来的电荷分布情况发生改变的条件下， q 所受的力 \mathbf{F} 对 q 值的比数就叫做 q 所在点的电场强度 \mathbf{E} ，即

$$\mathbf{E} = \frac{\mathbf{F}}{q}. \quad (1-3)$$

电场强度 \mathbf{E} 是一个向量，单位则显然是牛顿/库伦，它的方向和 \mathbf{F} 的方向相同。

在相对于介质和我们观察者是不动的和不变的点电荷 Q 的情况下，在 Q 周围的介质中任一点的电场强度 \mathbf{E} 不难由(1-2)式求出为

$$\mathbf{E} = \frac{Q}{4\pi \epsilon_0 \epsilon_r r^3} \mathbf{r}. \quad (1-4)$$

* 关于电场的其他特性和电场的物质性将在 § 1.4 中讨论。

如果点电荷不止一个，而是有很多个(Q_1, Q_2, \dots, Q_n)，实验证明，这时在某点的总电场强度将等于各个点电荷在该点的电场强度的向量和，也就是说，可以用迭加原理来计算电场强度，用数学式表示，即成

$$\mathbf{E} = \sum_{i=1}^n E_i - \frac{1}{4\pi \epsilon_0 \epsilon_r} \sum_{i=1}^n \frac{Q_i}{r_i^3} \mathbf{r}_i; \quad (1-5)$$

式中， r_i 为由所研究的点子到电荷 Q_i 之间的距离。电场的这种性质是和 \mathbf{E} 对 Q 的线性关系（即 \mathbf{E} 和 Q 的一次方成正比）分不开的。如果 \mathbf{E} 是和 Q 的其他次方成正比，就显然不可能用迭加原理来计算电场强度了，因为此时将 Q 分成几个较小的部分分别计算再迭加求出的 \mathbf{E} ，和将 Q 一次计算所得的 \mathbf{E} 是不相同的。

对于分布电荷来说，上式可改为积分的形式，即

$$\mathbf{E} = \frac{1}{4\pi \epsilon_0 \epsilon_r} \int \frac{dQ}{r^3} \mathbf{r}. \quad (1-6)$$

在一般情况下，为了保证试用的点电荷 q 的引入不会引起原来电荷分布情况的改变，必须令 q 的电荷量极为微小而趋近于零值。因之电场强度的定义也可以叙述为：当试用的点电荷 q 的电量趋近于零时，它在电场中所受的力 \mathbf{F} 与 q 的比值叫做 q 所在点的电场强度 \mathbf{E} ，即

$$\mathbf{E} = \lim_{q \rightarrow 0} \frac{\mathbf{F}}{q}. \quad (1-7)$$

应当指出，即使 $q \rightarrow 0$ ，它引入后也不可避免地会引起原有电场的某些改变，特别在 q 所在点的直接附近更是如此。由于点电荷 q 的半径为零，所以即使电荷量 $q \rightarrow 0$ ，在 q 引入后在 q 点直接附近的总电场强度就将由原来的某值一变而为无穷大。 $q \rightarrow 0$ 只是保证了原来电荷的分布情况不会因 q 的引入而发生变化，也就是在原来电荷的直接附近的电场强度不致发生变化而已。某些书上所说的“微小的试验电荷的携入可不致使原有电场发生改变”是不正确的。

试验电荷 q 在电场中受的力可由(1-3)式求出为

$$\mathbf{F} = q \mathbf{E}. \quad (1-8)$$

在应用上式时要注意两点：(1) 上式只是在 q 的引入不会使原来的电荷分布情况发生改变的条件下才是正确的；(2) 上式中的 \mathbf{E} 是在 q 没有引入以前在该点的电场强度，而不是 q 引入后在该点出现的总的电场强度。

电场的特征可以用电力线的分布情况来表示。所谓电力线就是在线上每一点的切线方向都与该点电场强度 \mathbf{E} 的方向相同的曲线。由于在一个点子上的 \mathbf{E} 只有一个方向，所以电力线是不会互相交叉的。在电场中的每个点子都通过相应的一根电力线，而在整个电场中可以画出无穷多根电力线来。例如，一个点电荷的电场的电力线就是由点电荷向外辐射的无穷多根辐射线。如果我们在垂直于电力线的单位截面上只画出等于该截面中心的电场强度值数目的电力线，那末根据电力线的疏密，就可决定电场强度值的大小。

为了求出电力线的方程式，可以从电场中任一点 P 的电场强度 \mathbf{E} 出发。已知

$$\mathbf{E} = i E_x + j E_y + k E_z;$$

式中， i, j, k 各为沿 x, y, z 轴方向的单位向量。假若电力线在 P 点的一个元段

$$d\mathbf{l} = i dx + j dy + k dz,$$

那末为了使 \mathbf{E} 的方向与 $d\mathbf{l}$ 的方向相一致，显然必须满足

$$\cos \alpha = \frac{E_x}{|\mathbf{E}|} = \frac{dx}{|d\mathbf{l}|};$$

式中， α 为 \mathbf{E} 与 x 轴的夹角。上式可改写为

$$\frac{E_x}{dx} = \frac{|\mathbf{E}|}{|d\mathbf{l}|}.$$

同理还必须满足

$$\frac{E_y}{dy} = \frac{|\mathbf{E}|}{|d\mathbf{l}|},$$

$$\frac{E_z}{dz} = \frac{|E|}{|dt|}.$$

将上三式合并, 可得

$$\frac{dx}{E_x} = \frac{dy}{E_y} = \frac{dz}{E_z}, \quad (1-9)$$

即为电力线的微分方程式, 经积分即可求出电力线的方程式。

根据定义可知, 电力线是从正电荷出发, 而终止到负电荷上的, 因此在静电场中不可能出现封闭的电力线。

[例 1-1] 在无穷大的平板上有电荷, 电荷密度为 σ , 求空间任一点的电场强度及电力线的方程式。

解: 将无穷大的平板认为由半径为 r 宽度为 dr 的很多圆环所组成, 并且将坐标的原点取在这些圆环的中心, 而令 P 点正好在 z 轴上(参看图 1-1)。

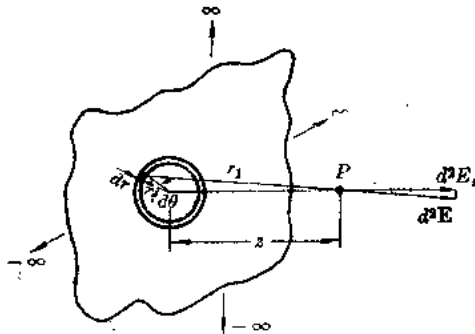


图 1-1 带电的无穷大平板外的电场计算用图

在 $dr \cdot rd\theta$ 元面积上, 与元电荷 $dq = \sigma r d\theta dr$ 相应的在 P 点的电场强度为

$$d^2\mathbf{E} = \frac{1}{4\pi\epsilon_0\epsilon_r} \frac{\sigma r dr d\theta}{r_1^2} \mathbf{r}_1.$$

由于对称的关系, 同整个圆环中的电荷相应的在 P 点的电场强度显然为 z 方向的, 所以为了求整个圆环上的电荷在 P 点的电场强度 dE_z , 可只将 $d^2\mathbf{E}$ 在 z 轴的分量

$$d^2E_z = |d^2\mathbf{E}| \frac{z}{r_1} = |d^2\mathbf{E}| \frac{z}{(z^2 + r^2)^{\frac{3}{2}}}$$

对 θ 积分而得, 即

$$dE_z = \int d^2E_z = \int_0^{2\pi} \frac{\sigma r dr d\theta}{4\pi\epsilon_0\epsilon_r (z^2 + r^2)^{\frac{3}{2}}} = \frac{\sigma r dr}{2\epsilon_0\epsilon_r (z^2 + r^2)^{\frac{3}{2}}}.$$

求整个平板上的电荷在 P 点的电场强度 E_z 时, 可将上式对 r 积分, 即

$$E_z = \int dE_z = \int_0^{\infty} \frac{\sigma r dr}{2\epsilon_0\epsilon_r(z^2+r^2)^{\frac{3}{2}}} = \frac{\sigma}{2\epsilon_0\epsilon_r}. \quad (1-10)$$

电力线的方程式, 可以从 (1-9) 式求得。此时 $E_x = -\frac{\sigma}{2\epsilon_0\epsilon_r}$, $E_y = E_z = 0$, 所以 (1-9) 式变成

$$dx = 0, \quad dy = 0;$$

经过积分即得电力线的方程式

$$\left. \begin{array}{l} x = C_1, \\ y = C_2; \end{array} \right\} \quad (1-11)$$

式中, C_1 及 C_2 为任意常数。此时电力线为平行于 z 轴的任意直线。

[例 1-2] 有一个无穷长的细直线, 每单位长度的电荷为 σ , 求空间任一点的电场强度和电力线的方程式。

解: 参看图 1-2, 元电荷 σdz 在 P 点的电场强度为

$$d\mathbf{E} = \frac{\sigma dz \mathbf{r}_1}{4\pi\epsilon_0\epsilon_r r_1^3}.$$

由于对称的关系, 整个线电荷在 P 点的电场强度 \mathbf{E} 将只在 r 方向, 于是只要将上式中的 $d\mathbf{E}$ 在 r 方向的分量 dE_r 对 z 积分即可求得 \mathbf{E} :

图 1-2 带电的无穷长细直线上
电场的计算用图

$$dE_r = |d\mathbf{E}| \frac{r}{r_1},$$

$$\therefore E_r = \int dE_r = \int_{-\infty}^{+\infty} \frac{\sigma r dz}{4\pi\epsilon_0\epsilon_r r_1^3}$$

$$= \int_{-\infty}^{+\infty} \frac{\sigma r dz}{4\pi\epsilon_0\epsilon_r (r^2+z^2)^{\frac{3}{2}}} = \frac{\sigma}{2\pi\epsilon_0\epsilon_r r}.$$

求电力线的方程式时, 可以将 (1-9) 式改为圆柱坐标的形式, 即